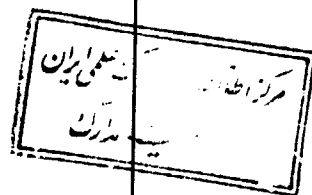


٢١٨٠١



۱۳۷۹ / ۷ / ۲۴



دانشگاه تربیت معلم تهران

دانشکده شیمی

پایان نامه:

کارشناسی ارشد

«شیمی - تجزیه»

موضوع:

اندازه‌گیری بریلیوم به روش طیف نورسنجی

با استفاده از معرف آنترالین

استاد راهنمای:

دکتر اسدآ... بیرقی

۸۹۰۹

مؤلف:

سعید بابائی

تیرماه ۱۳۷۹

۳۱۸۰۱

تقدیم به:

پیشگاه مقدس حضرت بقیة... الاعظم (عج)

پدر و مادرم،

بزرگ معلمانی که پر تو مهر و گذشت آنها همواره بر
جان و اندیشه ام خواهد تابید.

«من لم يشکر المخلوق لم يشکر الخالق»

تقدیر و تشکر:

- از استاد گرامی جناب آقای دکتر اسدآ... بیرقی، استاد راهنمای اینجانب، که رشد علمی خود را مدبیون ایشان می‌دانم به خاطر راهنمائی‌های ارزشمند و زحمات بی‌شایشه‌شان در طول اجرای پایان‌نامه که با ممتاز و حوصلهٔ فراوان ایشان همراه بود بینها یات سپاسگزارم.
- از اساتید ارجمند آقایان دکتر واقف حسین و دکتر رفوئی که لطف فرموده، زحمت مطالعه پایان‌نامه را بر عهده گرفته و در جلسهٔ دفاعیه اینجانب شرکت نمودند کمال تشکر را دارم.
- از آقای دکتر البرز ریاست محترم دانشکده شیمی به خاطر مساعدتها ایشان در طول اجرای پایان‌نامه تقدیر می‌نمایم.
- از کلیه مدیران محترم مؤسسه آموزشی تحقیقاتی وزارت دفاع که اینجانب را در راه ادامه تحصیل یاری دادند تشکر و قدردانی می‌نمایم.
- از کلیه کارمندان زحمتکش دانشکده شیمی از جمله آقایان عیسی‌زاده، موسوی، مهدوی و دیگر عزیزان که با همکاری‌هایشان مرا یاری دادند تشکر می‌کنم.

پیشگفتار

پگماتیت‌های متعددی شامل بعضی از کانی‌های بریلیوم‌دار در طبیعت موجود می‌باشند که در کشور ما نیز معادن بعضی از این پگماتیت‌ها وجود دارد.

بریلیوم به دلیل خواص مهم آن (جرم اتمی کم - دانسیته اتمی زیاد - خصوصیت منحصر به فرد که سبب سبکی، استحکام و مقاوم به خوردگی در آلیاژها می‌گردد) در راکتورهای هسته‌ای و دیگر صنایع (نظمی - غیرنظمی) کاربرد فراوان دارد. بنابراین اندازه‌گیری این عنصر در کانی‌های شامل آن (و یا آلیاژها) خوبی مهم است زیرا ارزیابی اقتصادی (تعیین احتمال مقرون به صرفه بودن) عملیات استحصال و بهره‌برداری از معادن و یا پیشرفت مراحل پروژه‌ای را مشخص می‌کند. با توجه به اینکه کانی‌های مربوطه علاوه بر بریلیوم شامل عناصر مختلف دیگر نیز می‌باشند، لازم است در روش‌های اندازه‌گیری این فلز مزاحمت‌های ناشی از این عناصر نیز برطرف گردد.

فهرست مطالب

صفحه

عنوان

چکیده

● بخش اول: تئوری

| | | |
|----|---------------------------------|------|
| ۱ | - تاریخچه | ۱-۱ |
| ۲ | - خواص فیزیکی و شیمیایی بریلیوم | ۱-۲ |
| ۳ | - سمیت بریلیوم | ۱-۳ |
| ۴ | - خاستگاه بریلیوم در طبیعت | ۱-۴ |
| ۵ | - کانی شناسی | ۱-۵ |
| ۶ | - کانی های بریلیوم دار | ۱-۶ |
| ۷ | - بریل | ۱-۷ |
| ۸ | - فناصیت | ۱-۸ |
| ۹ | - کریزو بریل | ۱-۹ |
| ۱۰ | - برتراندیت | ۱-۱۰ |
| ۱۱ | - هلویت | ۱-۱۱ |
| ۱۲ | - دانالیت | ۱-۱۲ |
| ۱۳ | - کاربرد صنعتی بریلیوم | ۱-۱۳ |
| ۱۴ | - فلز بریلیوم | ۱-۱۴ |
| ۱۵ | - صنایع هسته ای | ۱-۱۵ |
| ۱۶ | - موارد مصرف دیگر | ۱-۱۶ |

عنوان

صفحه

| | |
|---------|--|
| ۱۱..... | - آلیاژهای بریلیوم ۱-۵-۲ |
| ۱۱..... | - آلیاژ مس - بریلیوم ۱-۵-۲-۱ |
| ۱۱..... | - آلیاژ نیکل - بریلیوم ۱-۵-۲-۲ |
| ۱۱..... | - آلیاژ آلومینیوم - بریلیوم ۱-۵-۲-۳ |
| ۱۲..... | - اکسیدها و نمکهای بریلیوم ۱-۳-۵ |
| ۱۲..... | - روشهای اندازهگیری بریلیوم ۱ |
| ۱۲..... | - جداسازی رسوبی ۱-۶-۱ |
| ۱۵..... | - روش رسوبی با آمونیوم هیدروکسید ۱-۶-۱-۱ |
| ۱۵..... | - روش رسوبی به صورت پیروفسفات ۱-۶-۱-۲ |
| ۱۶..... | - روش تیتراسیون اسید - باز ۱-۶-۱-۳ |
| ۱۷..... | - روش تیتراسیون یدومتری ۱-۶-۱-۴ |
| ۱۷..... | - روش فلوریمتری ۱-۶-۲ |
| ۱۸..... | - روش اسپکتروگرافیک ۱-۶-۳ |
| ۱۸..... | - روش رادیوشیمیایی ۱-۶-۴ |
| ۱۹..... | - روش جذب اتمی ۱-۶-۵ |
| ۱۹..... | - روش جذب اتمی - شعلهای ۱-۶-۵-۱ |
| ۲۰..... | - روش جذب اتمی - الکتروترمال ۱-۶-۵-۲ |
| ۲۱..... | - روش نشر اتمی ۱-۶-۶ |
| ۲۳..... | - روش‌های طیف نورسنجی ۱-۶-۷ |
| ۲۴..... | - مکانیسم واکنش ۱-۷-۶-۱ |
| ۲۶..... | - بررسی معرف آنرالین ۱-۷-۶-۲ |

| | |
|----------|---------------------------------------|
| ۲۷ | - بررسی چندین معرف دیگر ۳-۷-۶-۱ |
| ۲۹ | - بررسی معرف آنتراروفین ۴-۷-۶-۱ |

● بخش دوم: تجربی

| | |
|----------|--|
| ۳۱ | - اندازه‌گیری بریلیوم توسط آنترالین و به روش طیف نورسنجی ۱-۲ |
| ۳۱ | - بررسی طیف‌های معرف آنترالین و کمپلکس آن با بریلیوم ۱-۱-۲ |
| ۳۲ | - بهینه‌سازی روش بکار رفته ۲-۱-۲ |
| ۳۴ | - بررسی اثر pH بر روی جذب ۱-۲-۱-۲ |
| ۳۴ | - بررسی اثر بافر ۲-۲-۱-۲ |
| ۳۴ | - الف - انتخاب بافر مناسب ۲-۲-۱-۲ |
| ۳۵ | - ب - تعیین غلظت بهینه بافر ۲-۲-۱-۲ |
| ۳۵ | - بررسی مقدار معرف ۱-۲-۲-۱-۲ |
| ۳۶ | - بررسی اثر زمان ۱-۲-۴-۲-۱-۲ |
| ۳۶ | - الف - پایداری معرف ۱-۲-۴-۲-۱-۲ |
| ۳۶ | - ب - پایداری کمپلکس ۱-۲-۴-۲-۱-۲ |
| ۳۶ | - بررسی تکراری گذب کمپلکس ۱-۲-۳-۱-۲ |
| ۳۷ | - بررسی گستره خطی ۱-۲-۴-۱-۲ |
| ۳۷ | - اندازه‌گیری بریلیوم (روش منحنی کالیبراسیون) ۱-۲-۵-۱-۲ |
| ۳۸ | - بررسی نسبت فلز- لیگاند ۱-۲-۶-۱-۲ |
| ۳۸ | - روش تغییرات پیوسته (Job) ۱-۲-۶-۱-۲ |
| ۳۸ | - روش Asmus ۱-۲-۶-۲-۲-۱-۲ |

| | |
|------|--|
| صفحه | عنوان |
| ۳۹ | ۲-۲-۱- اندازه‌گیری بریلیوم در نمونه‌های حقیقی با معرف آنترالین |
| ۳۹ | ۲-۲-۲- بررسی تأثیر اتیلن دی آمین تراستیک اسید (EDTA) |
| ۴۰ | ۲-۲-۳- بررسی مزاحمت‌ها |
| ۴۱ | ۲-۲-۲-۱- بررسی تأثیر کاتیون‌ها (بدون حضور بریلیوم) |
| ۴۲ | ۲-۲-۲-۲- بررسی تأثیر کاتیون‌ها در اندازه‌گیری بریلیوم |
| ۴۳ | ۲-۲-۳- اندازه‌گیری بریلیوم در سنگ بریل، پگماتیت و آلیاژ مس (روش منحنی کالیبراسیون) |
| ۴۶ | ۲-۴-۱- اندازه‌گیری بریلیوم در سنگ بریل، پگماتیت و آلیاژ مس (روش افزایش استاندارد) .. |
| ۴۶ | ۲-۳- اندازه‌گیری بریلیوم در نمونه‌های حقیقی به روش جذب اتمی (روش منحنی کالیبراسیون) . |
| ۴۷ | ۴-۲- اندازه‌گیری دیگر عناصر موجود در نمونه‌های حقیقی به روش فلورسانس اشعه X .. |
| ۴۸ | ۵-۱- اندازه‌گیری بریلیوم توسط آنتراروفین و به روش طیف نورسنجی |
| ۴۸ | ۵-۲- بررسی طیف‌های معرف آنتراروفین و بریلیوم- آنتراروفین |
| ۴۹ | ۵-۲-۱- بررسی اثر pH بر جذب محلول بریلیوم- آنتراروفین |

بخش سوم: نتایج

| | | |
|-------------|--|----|
| ۱-۳-۱-۱-۱-۳ | - اندازه‌گیری بریلیوم توسط آنترالین و به روش طیف نورسنجی | ۵۱ |
| ۱-۳-۱-۱-۲-۳ | - بررسی طیف‌های معرف آنترالین و کمپلکس آن با بریلیوم | ۵۱ |
| ۱-۳-۱-۲-۳ | - بهینه‌سازی روش بکار رفته | ۵۴ |
| ۱-۳-۱-۲-۱-۳ | - بررسی اثر pH بر روی جذب | ۵۴ |
| ۱-۳-۱-۲-۱-۳ | - انتخاب بافر و غلظت بهینه آن | ۵۶ |
| ۱-۳-۱-۲-۱-۳ | - الف - انتخاب بافر مناسب | ۵۶ |

عنوان

صفحه

| | |
|----------|---|
| ۵۷ | ۳-۱-۲-۲- ب - تعیین غلظت بهینه با فر. |
| ۵۷ | ۳-۱-۲-۳- بررسی مقدار معرف |
| ۵۹ | ۳-۱-۲-۴- بررسی اثر زمان |
| ۵۹ | ۳-۱-۳-۴- الف - پایداری معرف |
| ۶۰ | ۳-۱-۳-۴- ب - پایداری کمپلکس |
| ۶۱ | ۳-۱-۳-۳- بررسی تکرار پذیری جذب کمپلکس |
| ۶۱ | ۳-۱-۳-۴- بررسی گستره خطی |
| ۶۳ | ۳-۱-۳-۵- اندازه گیری بریلیوم (روش منحنی کالیبراسیون) |
| ۶۵ | ۳-۱-۳-۶- بررسی نسبت فلز- لیگاند |
| ۶۵ | ۳-۱-۳-۱-۶- روش تغییرات پیوسته (Job) |
| ۶۷ | ۳-۱-۳-۲-۶- روش Asmus |
| ۶۸ | ۳-۲-۱-۲- اندازه گیری بریلیوم در نمونه های حقیقی با معرف آنترالین |
| ۶۸ | ۳-۱-۲-۱- بررسی اتیلن دی آمین تتراستیک اسید (EDTA) |
| ۷۰ | ۳-۲-۲- بررسی مزاحمت ها |
| ۷۰ | ۳-۲-۲-۱- بررسی تأثیر کاتیون ها (بدون حضور بریلیوم) |
| ۷۶ | ۳-۲-۲-۲- بررسی تأثیر کاتیون ها در اندازه گیری بریلیوم |
| ۸۶ | ۳-۲-۳- اندازه گیری بریلیوم در سنگ بریل، پگماتیت و آلیاژ مس در حضور EDTA (روش منحنی کالیبراسیون) |
| ۹۰ | ۳-۲-۴- اندازه گیری بریلیوم در سنگ بریل: پگماتیت و آلیاژ مس در حضور EDTA (روش افزایش استاندارد) |
| ۹۴ | ۳-۳-۳- اندازه گیری بریلیوم در نمونه های حقیقی به روش جذب اتمی (روش منحنی کالیبراسیون) |
| ۹۷ | ۳-۴-۴- اندازه گیری دیگر عناصر موجود در نمونه های حقیقی به روش فلورسانس اشعه X . |

عنوان

صفحه

| | |
|--|--|
| ۳-۵-۳- امکان اندازه‌گیری بریلیوم توسط آنتراروفین و به روش طیف نورستنجی ۹۸ | |
| ۱-۵-۳- بررسی طیف‌های معرف آنتراروفین و بریلیوم- آنتراروفین ۹۸ | |
| ۲-۵-۳- بررسی اثر pH بر جذب محلول بریلیوم- آنتراروفین ۱۰۰ | |
| بحث و نتیجه گیری ۱۰۱ | |
| پیوست ۱۰۵ | |
| مراجع ۱۱۰ | |

فهرست جداول

صفحه

عنوان

| |
|---|
| جدول ۱-۱: خواص فیزیکی بریلیوم ۳ |
| جدول ۲-۱: شرایط دستگاهی در اندازه‌گیری بریلیوم به روش جذب اتمی- شعله‌ای ۲۰ |
| جدول ۱-۳: شرایط دستگاهی در اندازه‌گیری بریلیوم به روش جذب اتمی- الکتروترمال ۲۱ |
| جدول ۱-۴: خطوط نشری بریلیوم و مزاحمت‌های طیفی عناصر همراه ۲۲ |
| جدول ۱-۵: تعدادی از معرفهای بکار رفته در اندازه‌گیری بریلیوم به روش طیف نورستنجی ۲۸ |
| جدول ۳-۱: نتایج حاصل از تأثیر pH بر جذب کمپلکس ۵۵ |
| جدول ۳-۲: نتایج حاصل از بافرهای بکار رفته ۵۶ |
| جدول ۳-۳: نتایج حاصل از غلظت بهینه بافر ۵۷ |
| جدول ۳-۴: نتایج حاصل از بررسی مقدار معرف بر جذب کمپلکس ۵۸ |
| جدول ۳-۵: نتایج حاصل از تأثیر زمان بر جذب آنترالین ۵۹ |
| جدول ۳-۶: نتایج حاصل از تأثیر زمان بر جذب کمپلکس ۶۰ |
| جدول ۳-۷: نتایج تکراری‌بیری جذب کمپلکس ۶۱ |
| جدول ۳-۸: نتایج حاصل از بررسی گستره خطی ۶۲ |
| جدول ۳-۹: جذب محلول‌های استاندارد بریلیوم ۶۳ |
| جدول ۳-۱۰: نتایج بررسی نسبت بریلیوم- آنترالین به روش Job ۶۵ |
| جدول ۳-۱۱: نتایج بررسی نسبت بریلیوم- آنترالین به روش Asmus ۶۷ |
| جدول ۳-۱۲: نتایج حاصل از تأثیر EDTA بر جذب کمپلکس ۶۹ |
| جدول ۳-۱۳: نتایج مزاحمت منیزیم بر جذب کمپلکس ۸۱ |
| جدول ۳-۱۴: نتایج مزاحمت مس (II) بر جذب کمپلکس ۸۲ |

| | |
|---|-----|
| جدول ۳-۱۵: نتایج مزاحمت آهن (III) بر جذب کمپلکس..... | ۸۲ |
| جدول ۳-۱۶: نتایج مزاحمت کلسیم بر جذب کمپلکس | ۸۳ |
| جدول ۳-۱۷: نتایج مزاحمت الومینیوم بر جذب کمپلکس | ۸۳ |
| جدول ۳-۱۸: جذب محلول‌های استاندارد بریلیوم در حضور EDTA | ۸۸ |
| جدول ۳-۱۹: نتایج حاصل از اندازه‌گیری بریلیوم در سنگ بریل، پگماتیت و آلیاژ مس (روش منحنی کالیبراسیون) | ۹۰ |
| جدول ۳-۲۰: جذب محلول‌های افزایش استاندارد سنگ بریل | ۹۱ |
| جدول ۳-۲۱: جذب محلول‌های افزایش استاندارد پگماتیت | ۹۲ |
| جدول ۳-۲۲: جذب محلول‌های افزایش استاندارد آلیاژ مس | ۹۳ |
| جدول ۳-۲۳: نتایج حاصل از اندازه‌گیری بریلیوم در سنگ بریل، پگماتیت و آلیاژ مس (روش افزایش استاندارد) | ۹۴ |
| جدول ۳-۲۴: جذب محلول‌های استاندارد بریلیوم به روش جذب اتمی | ۹۵ |
| جدول ۳-۲۵: نتایج حاصل از اندازه‌گیری بریلیوم در نمونه‌های حقیقی به روش جذب اتمی (روش منحنی کالیبراسیون) | ۹۷ |
| جدول ۳-۲۶: نتایج حاصل از اندازه‌گیری سایر عناصر موجود در سنگ بریل به روش XRF | ۹۸ |
| جدول ۳-۲۷: نتایج حاصل از اندازه‌گیری سایر عناصر موجود در پگماتیت به روش XRF | ۹۸ |
| جدول ۳-۲۸: نتایج حاصل از تأثیر pH بر جذب محلول آنتراروفین - بریلیوم | ۱۰۰ |

فهرست اشکال

صفحه

عنوان

| | |
|--|----|
| شکل ۱-۱: مراحل پروتون‌زدایی امودین | ۲۵ |
| شکل ۱-۲: آنترالین | ۲۶ |
| شکل ۱-۳: مکانیسم تشکیل کمپلکس بریلیوم - آنترالین در محیط بازی | ۲۷ |
| شکل ۱-۴: آنتراروفین | ۲۹ |
| شکل ۱-۵: آنتراروفین در محیط اسیدی | ۲۹ |
| شکل ۱-۶: آنتراروفین در محیط بازی | ۲۹ |
| شکل ۱-۳: طیف جذبی آنترالین | ۵۱ |
| شکل ۲-۳: طیف جذبی کمپلکس بریلیوم - آنترالین | ۵۲ |
| شکل ۳-۳: طیف جذبی تصحیح شده کمپلکس بریلیوم - آنترالین | ۵۳ |
| شکل ۳-۴: طیف‌های جذبی آنترالین، کمپلکس بریلیوم - آنترالین و طیف جذبی تصحیح شده کمپلکس بریلیوم - آنترالین | ۵۴ |
| شکل ۳-۵: نمودار تغییرات جذب کمپلکس بر حسب pH | ۵۵ |
| شکل ۳-۶: نمودار تغییرات جذب کمپلکس بر حسب حجم مصرفی معرف | ۵۸ |
| شکل ۳-۷: نمودار تغییرات جذب آنترالین نسبت به زمان | ۵۹ |
| شکل ۳-۸: نمودار تغییرات جذب کمپلکس نسبت به زمان | ۶۰ |
| شکل ۳-۹: نمودار تغییرات جذب کمپلکس بر حسب غلظت بریلیوم | ۶۲ |
| شکل ۳-۱۰: منحنی کالیبراسیون محلول‌های استاندارد بریلیوم | ۶۴ |
| شکل ۳-۱۱: نمودار تغییرات جذب کمپلکس بر حسب کسر مولی بریلیوم | ۶۶ |
| شکل ۳-۱۲: نمودار تغییرات $\frac{1}{Abs^n}$ (ط) بر حسب $\frac{1}{Abs}$ کمپلکس | ۶۸ |

| | |
|--|--|
| شکل ۱۳-۳: نمودار تغییرات جذب کمپلکس برحسب حجم مصرفی EDTA ۶۹ | شکل ۱۴-۳: طیف جذبی تصویح شده کمپلکس منیزیم - آنترالین ۷۱ |
| شکل ۱۵-۳: طیف جذبی تصویح شده کمپلکس مس (II)- آنترالین ۷۲ | شکل ۱۶-۳: طیف جذبی تصویح شده کمپلکس آهن (III)- آنترالین ۷۳ |
| شکل ۱۷-۳: طیف جذبی تصویح شده کمپلکس کلسیم - آنترالین ۷۴ | شکل ۱۸-۳: طیف جذبی تصویح شده کمپلکس الومینیوم - آنترالین ۷۵ |
| شکل ۱۹-۳: بررسی طیفی مزاحمت منیزیم بر کمپلکس بریلیوم - آنترالین ۷۷ | شکل ۲۰-۳: بررسی طیفی مزاحمت مس (II) بر کمپلکس بریلیوم - آنترالین ۷۸ |
| شکل ۲۱-۳: بررسی طیفی مزاحمت آهن (III) بر کمپلکس بریلیوم - آنترالین ۷۹ | شکل ۲۲-۳: بررسی طیفی مزاحمت کلسیم بر کمپلکس بریلیوم - آنترالین ۸۰ |
| شکل ۲۳-۳: بررسی طیفی مزاحمت الومینیوم بر کمپلکس بریلیوم - آنترالین ۸۱ | شکل ۲۴-۳: نمودار مزاحمت منیزیم بر جذب کمپلکس بریلیوم - آنترالین ۸۴ |
| شکل ۲۵-۳: نمودار مزاحمت مس (II) بر جذب کمپلکس بریلیوم - آنترالین ۸۴ | شکل ۲۶-۳: نمودار مزاحمت آهن (III) بر جذب کمپلکس بریلیوم - آنترالین ۸۵ |
| شکل ۲۷-۳: نمودار مزاحمت کلسیم بر جذب کمپلکس بریلیوم - آنترالین ۸۵ | شکل ۲۸-۳: نمودار مزاحمت الومینیوم بر جذب کمپلکس بریلیوم - آنترالین ۸۶ |
| شکل ۲۹-۳: منحنی کالیبراسیون محلول‌های استاندارد بریلیوم در حضور EDTA ۸۸ | شکل ۳۰-۳: منحنی افزایش استاندارد سنگ بریل ۹۱ |
| شکل ۳۱-۳: منحنی افزایش استاندارد پگماتیت ۹۲ | شکل ۳۲-۳: منحنی افزایش استاندارد آلیاژ مس ۹۳ |
| شکل ۳۳-۳: منحنی کالیبراسیون محلول‌های استاندارد بریلیوم به روش جذب اتمی ۹۵ | شکل ۳۴-۳: طیف‌های جذبی آنتراروفین، آنتراروفین- بریلیوم و طیف جذبی تصویح شده آنتراروفین- بریلیوم ۹۹ |
| شکل ۱-۴: مکانیسم تشکیل کمپلکس بریلیوم - آنترالین ۱۰۳ | |